arXiv:math/0107138v1 [math.GT] 19 Jul 2001

Invariant d'entrelacs associé à la représentation des spineurs de $\mathfrak{so}_7$

Link invariant for the spinor representation of $\mathfrak{so}_7$

Bertrand Patureau-Mirand
Centre de Mathématiques de Jussieu, Université Paris 7 Denis Diderot
Case Postale 7012, 2, place Jussieu, F-75251 PARIS CEDEX 05
E-mail : patureau@math.jussieu.fr
URL : http ://www.math.jussieu.fr/∼patureau

Résumé

La fonction de poids associée à la représentation des spineurs de $\mathfrak{so}_7$ composée avec l'invariant universel de Vassiliev-Kontsevich fournit un invariant d'entrelacs numérique à valeur dans les séries formelles en une variable. Je calcule des relations "skeins" pour cet invariant et je donne un algorithme pour le calculer. Cet invariant est en fait à valeur dans l'anneau $\mathbb{Z}[W, W^{-1}]$ des polynômes de Laurent en une variable à coefficients entiers.

Résumé

Pulling back the weight system associated with the spinor representation of the Lie algebra $\mathfrak{so}_7$ by the universal Vassiliev-Kontsevich invariant yields a numerical link invariant with values in formal power series. Computing some skein relations satisfied by this invariant, I derive a recursive algorithm for its evaluation. The values of this invariant belong to the ring $\mathbb{Z}[W, W^{-1}]$ of Laurent polynomials in one variable.

Introduction

Cet article est tiré de mon travail en thèse.
Pour chaque superalgèbre L de la famille exceptionnelle étendue (famille comprenant les cinq algèbres exceptionnelles $\mathfrak{g}_2$, $\mathfrak{f}_4$, $\mathfrak{e}_6$, $\mathfrak{e}_7$ et $\mathfrak{e}_8$ auxquelles on peut ajouter les deux superalgèbres de Lie $\mathfrak{g}(3)$ et $\mathfrak{f}(4)$, les superalgèbres $\mathfrak{psl}(E_0)$, $\mathfrak{sl}(E_2)$, $\mathfrak{sl}(E_3)$, $\mathfrak{osp}(F_{-1})$, $\mathfrak{osp}(F_8)$ où E_n (respectivement F_n) désigne un superespace vectoriel de superdimension n (respectivement muni d'une forme bilinéaire supersymétrique non dégénérée), il existe une sous-algèbre l de L et une représentation de cette algèbre e telle que si v est la représentation standard de $\mathfrak{sp}_2$ on ait :

$$L \simeq \mathfrak{sp}_2 \oplus l \oplus v \otimes e$$

comme $(\mathfrak{sp}_2 \times l)$-module. Les fonctions de poids associées aux couples (l, e) ont des propriétés communes qui m'ont permis de calculer certaines relations "skeins" vérifiées par les invariants d'entrelacs associés. Ce système de relations n'est malheureusement pas complet (on ne peut pas en déduire directement un calcul de ces invariants). Cependant, pour le cas $L = \mathfrak{f}(4)$ où l'on a $l = \mathfrak{so}_7$ et où e est la représentation des spineurs, la fonction de poids associée au couple $(\mathfrak{so}_7, \mathrm{spin}_7)$ a des propriétés supplémentaires desquelles se déduisent d'autres relations "skeins". On a alors un système complet de relations duquel on peut déduire un algorithme pour le calcul de l'invariant d'entrelacs associé.

L'invariant de Vassiliev des noeuds le plus général associé à une algèbre de Lie $\mathfrak{g}$ est $Z_{\mathfrak{g}}$ qui est à valeur dans les séries formelles à une variable à coefficients dans le centre de l'algèbre enveloppante de $\mathfrak{g}$. Pour obtenir un invariant numérique, on évalue la trace de l'action de ces éléments sur une représentation. Il est bien connu que la famille d'invariants obtenue pour $\mathfrak{g} = \mathfrak{osp}(E)$ et pour le choix de la représentation standard E est donnée par le polynôme de Kauffman. Les invariants obtenus pour le choix de représentations du groupe $SO(E)$ se déduisent des différents cablages du polynôme de Kauffman. Ce n'est pas le cas des représentations des spineurs qui sont des représentations des algèbres $\mathfrak{so}_n(\mathbb{C})$ mais ne sont pas des représentations du groupe $SO_n(\mathbb{C})$ (l'existence de ces représentations est liée au fait que le groupe $SO_n(\mathbb{C})$ n'est pas simplement connexe). Bien sûr, la connaissance de tous les cablages du polynôme de Kauffman détermine complètement l'élément $Z_{\mathfrak{so}_n}$ et donc l'invariant obtenu pour la représentation des spineurs de $\mathfrak{so}_n$, mais, en pratique, ce calcul est impossible. L'invariant que je présente possède donc un intérêt propre et n'est pas directement une spécialisation d'un cablage du polynôme de Kauffman.

1 La fonction de poids $\Phi_{\mathfrak{so}_7,\mathbf{spin}_7}$

1.1 Définition des diagrammes

Un (X_1, X_2)-diagramme bicolore est un graphe fini K, dont tous les sommets sont trivalents ou univalents, muni des données suivantes :

1. Pour chaque sommet trivalent x de K, un ordre cyclique sur l'ensemble des trois arêtes orientées arrivant en x.
2. Un isomorphisme identifiant l'ensemble des sommets univalents à $X_1 \amalg X_2$.

3. Une application c de l'ensemble des arêtes de K vers l'ensemble des "couleurs" $\{1,2\}$ telle que $c^{-1}(\{2\})$ forme une courbe non orientée de bord X_2.

On peut représenter un (X_1, X_2)-diagramme bicolore par un graphe uni-tri-valent immergé dans le plan de manière à ce que l'ordre cyclique à chaque sommet soit donné par l'orientation du plan. On représentera d'un trait plus épais les arêtes de la deuxième couleur.
Chaque sommet trivalent d'un diagramme bicolore est soit dit de "couleur 1" (si les trois arêtes qui en sont issues sont de couleur 1), soit dit "mixte" (si en sont issues deux arêtes de couleurs 2 et une arête de couleur 1). La couleur d'un sommet univalent est la couleur de l'arête qui en est issue.
On définit le degré d'un (X_1, X_2)-diagramme bicolore par $n - s - \frac{1}{2}\text{cardinal}(X_2)$.

1.2 Définition des modules de diagrammes

On note $\mathcal{A}(X_1, X_2)$ le $\mathbb{Q}$-espace vectoriel de base les (X_1, X_2)-diagrammes bicolores quotienté par les relations (AS), (IHX) et (STU) ci-dessous :

1. Si deux diagrammes de $\mathcal{C}$ ne diffèrent que par l'ordre cyclique de l'un de leurs sommets trivalents, leur somme est nulle (relation dite (AS) pour antisymétrie).

   Cette relation est valable quelles que soient les couleurs des trois arêtes.
2. la relation (IHX) fait intervenir trois diagrammes de $\mathcal{C}$ qui ne diffèrent qu'au voisinage d'une arête :

3. La relation (STU) qui est une variation de la relation (IHX) au voisinage d'un sommet mixte :

On pose aussi

$$\mathcal{A}(X) = \bigoplus_{X_1 \amalg X_2 = X} \mathcal{A}(X_1, X_2)$$

1.3 Catégories de diagrammes

Soit $\overline{\mathcal{B}}$ et $\mathcal{B}$ les catégories monoïdales $\mathbb{C}$-linéaires définies par :

- $\text{Obj}(\overline{\mathcal{B}}) = \text{Obj}(\mathcal{B}) = \{[n], n \in \mathbb{N}\}$
- $\overline{\mathcal{B}}([p],[q]) = \mathcal{A}([p] \amalg [q])$ $\qquad \mathcal{B}([p],[q]) = \mathcal{A}(\emptyset, [p] \amalg [q])$

– La composition d'un diagramme de $[p]$ vers $[q]$ avec un diagramme de $[q]$ vers $[r]$ est nulle si les couleurs des sommets univalents des deux ensembles $[q]$ ne sont pas identiques. Sinon, elle est donnée par la réunion au dessus de $[q]$ des deux diagrammes (on les recolle en identifiant les sommets monovalents de même index des deux ensembles $[q]$).
– Le produit tensoriel $[p] \otimes [q]$ vaut $[p+q]$ et celui de deux diagrammes est donné par l'image de leur réunion disjointe par l'isomorphisme de $[p] \amalg [q] \simeq [p+q]$ obtenu en augmentant de p chaque élément de $[q]$.

Les morphismes de la catégorie $\mathcal{B}$ sont donc donnés par les combinaisons linéaires de diagrammes dont tous les sommets univalents sont de la deuxième couleur. On identifiera $\mathcal{B}([p],[q])$ à un sous-espace de $\overline{\mathcal{B}}([p],[q])$. Dans le cas où $p = q$, cette inclusion est pour la composition un morphisme d'algèbre non unitaire.

1.4 Fonctions de poids

Soit L une (super)algèbre de Lie quadratique (munie d'une forme bilinéaire invariante non dégénérée $< .,. >_L$) et soit $\Omega \in L \otimes L$ l'élément de Casimir associé.
On considère E un L-module autodual, muni d'une forme bilinéaire invariante non dégénérée $< .,. >_E$) et soit $\pi \in L \otimes L$ l'élément de Casimir associé.

Propriété 1 *Il existe un foncteur monoïdal $\mathbb{C}$-linéaire $\overline{\Phi}_{L,E}$ de $\overline{\mathcal{B}}$ dans la catégorie Mod_L des représentations de L envoyant* [1] *sur $L \oplus E$ et définit de manière unique par ses valeurs prises sur les diagrammes suivant :*

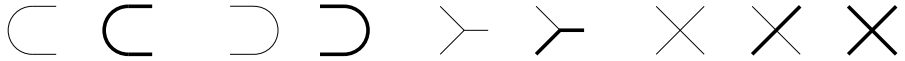

qui ont pour image respectivement :

1. *Le Casimir de L : $\Omega \in L^{\otimes 2} \hookrightarrow Mod_L(\mathbb{C}, (L \oplus E)^{\otimes 2})$*
2. *Le Casimir de E : $\pi \in E^{\otimes 2} \hookrightarrow Mod_L(\mathbb{C}, (L \oplus E)^{\otimes 2})$*
3. *Le produit scalaire sur L associé Ω de $L^{\otimes 2} \longrightarrow \mathbb{C}$ vu comme morphisme de $Mod_L((L \oplus E)^{\otimes 2}, \mathbb{C})$*
4. *Le produit scalaire sur E associé π de $E^{\otimes 2} \longrightarrow \mathbb{C}$ vu comme morphisme de $Mod_L((L \oplus E)^{\otimes 2}, \mathbb{C})$*
5. *Le crochet de Lie de $L^{\otimes 2} \longrightarrow L$ vu comme morphisme de $Mod_L((L \oplus E)^{\otimes 2}, (L \oplus E))$*

6. *L'opération externe du L-module E de* $L \otimes E \longrightarrow E$
7. *Les trois opérateurs de symétrie* : $\begin{array}{rcl} X \otimes Y & \longrightarrow & Y \otimes X \\ x \otimes y & \mapsto & y \otimes x \end{array}$

De même, on note $\Phi_{L,E} : \mathcal{B} \longrightarrow Mod_L$ *le foncteur monoïdal* $\mathbb{C}$*-linéaire envoyant* [1] *sur E et défini sur les morphismes par :*
$\Phi_{L,E}(K) = i^*(p_*(\circ\overline{\Phi}_{L,E}(K)))$ *où p désigne la projection canonique de* $L \oplus E$ *sur E et i désigne l'inclusion canonique de E dans* $L \oplus E$.

1.5 Représentations de $\mathfrak{so}_7$

On note $\Gamma(p,q,r)$ la représentation de $L = \mathfrak{so}_7$ de plus haut poids $p\omega_1 + q\omega_2 + r\omega_3$ où ω_1 est le plus haut poids de la représentation standard v, ω_2 celui de la représentation adjointe l et ω_3 celui de la représentation des spineurs s. On a dans la catégorie des représentations de $\mathfrak{so}_7$:

$$\Lambda^2 s = v \oplus l \qquad S^2 s = \mathbb{C} \oplus \Gamma(0,0,2)$$

$$s \otimes v = s \oplus \Gamma(1,0,1) \qquad s \otimes l = s \oplus \Gamma(1,0,1) \oplus \Gamma(0,1,1)$$

$$s \otimes \Gamma(0,0,2) = s \oplus \Gamma(1,0,1) \oplus \Gamma(0,1,1) \oplus \Gamma(0,0,3)$$

$$\Lambda^3 s = s \oplus \Gamma(1,0,1) \qquad S^3 s = s \oplus \Gamma(0,0,3)$$

Nous prenons comme Casimir de référence quarante fois celui associé à la forme de Killing. Il agit sur les différentes représentations évoquées par les scalaires suivants :

Représentation	dimension	action du Casimir
$v = \Gamma(1,0,0)$	7	24
$l = \Gamma(0,1,0)$	21	40
$s = \Gamma(0,0,1)$	8	21
$\Gamma(0,0,2)$	35	48
$\Gamma(1,0,1)$	48	49
$\Gamma(0,1,1)$	112	69
$\Gamma(0,0,3)$	112	81

On a donc

$$\mathrm{Mod}_L(s^{\otimes 2}, s^{\otimes 2}) \simeq \mathbb{C}^4 \text{ (comme algèbre)}$$

$$\mathrm{Mod}_L(s^{\otimes 3}, s^{\otimes 3}) \simeq M_4(\mathbb{C}) \times M_3(\mathbb{C}) \times M_2(\mathbb{C}) \times \mathbb{C}$$

Nous appelons $\mathcal{A}'_3$ l'algèbre graduée $\mathrm{Mod}_L(s^{\otimes 3}, s^{\otimes 3}) \otimes \mathbb{C}[\alpha] \simeq M_4(\mathbb{C}[\alpha]) \times M_3(\mathbb{C}[\alpha]) \times M_2(\mathbb{C}[\alpha]) \times \mathbb{C}[\alpha]$ où degré$(\alpha) = 1$.
La fonction de poids $\Phi_{\mathfrak{so}_7,\mathrm{spin}_7}$ associée au choix de α fois le Casimir standard induit donc un morphisme d'algèbre graduée de $\mathcal{A}_3 = \mathcal{B}([3],[3])$ dans

l'algèbre $\mathcal{A}'_3$.
Appelons i l'image dans $\widetilde{\mathcal{D}}([1],[1])$ de l'unique $([0],[2])$-diagramme sans boucle.
On note respectivement r et a les deux diagrammes suivants :

vus comme des morphismes de $\mathcal{B}([2],[2])$ dont la source est à gauche et le but à droite. On appelle aussi s l'opérateur de symétrie de $\mathcal{B}([2],[2])$

Proposition 2 *La fonction de poids $\Phi_{\mathfrak{so}_7,spin_7}$ annulle les éléments suivants :*

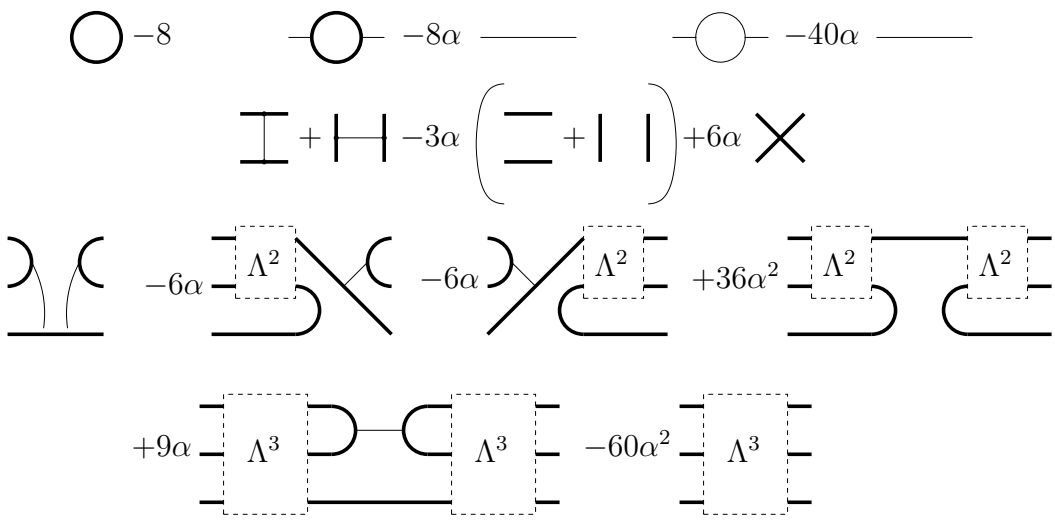

Pour ce dernier élément, les "boites" Λ^2 (respectivement Λ^3) désignent la combinaison linéaire de diagrammes de $\mathcal{B}([2],[2])$ (respectivement $\mathcal{B}([3],[3])$) donnée par $\frac{1}{2}\sum_{\sigma\in\mathfrak{S}_2}\epsilon(\sigma)\sigma\ (=\frac{1}{2}(1-s))$ (respectivement $\frac{1}{6}\sum_{\sigma\in\mathfrak{S}_3}\epsilon(\sigma)\sigma$).

De plus, cette représentation de $\mathcal{A}_3$ est équivalente à celle donnée par :

$$r\otimes 1\mapsto r'_{1,2}\qquad s\otimes 1\mapsto s'_{1,2}\qquad 1\otimes s\mapsto s'_{2,3}\quad \textit{et}\quad a\otimes 1\mapsto a'_{1,2}$$

avec

$$r'_{1,2}=\left(\begin{bmatrix}21\alpha & 10\alpha & 8\alpha & 0\\ 0 & \alpha & -4\alpha & 0\\ 0 & 0 & 9\alpha & 6\alpha\\ 0 & 0 & 0 & -3\alpha\end{bmatrix},\right.$$
$$\left.\begin{bmatrix}\alpha & -20\alpha & -12\alpha\\ 0 & 9\alpha & 6\alpha\\ 0 & 0 & -3\alpha\end{bmatrix},\begin{bmatrix}-3\alpha & -2\alpha\\ 0 & \alpha\end{bmatrix},\begin{bmatrix}-3\alpha\end{bmatrix}\right)$$

$$s'_{1,2} = \left(\begin{bmatrix} 1 & 1 & 1 & 1 \\ 0 & -1 & 0 & -1 \\ 0 & 0 & -1 & -1 \\ 0 & 0 & 0 & 1 \end{bmatrix}, \begin{bmatrix} -1 & 0 & 1 \\ 0 & -1 & -1 \\ 0 & 0 & 1 \end{bmatrix}, \begin{bmatrix} 1 & 1 \\ 0 & -1 \end{bmatrix}, \begin{bmatrix} 1 \end{bmatrix} \right)$$

$$s'_{2,3} = \left(\begin{bmatrix} 1 & 0 & 0 & 0 \\ -1 & -1 & 0 & 0 \\ -1 & 0 & -1 & 0 \\ 1 & 1 & 1 & 1 \end{bmatrix}, \begin{bmatrix} 1 & 0 & 0 \\ -1 & -1 & 0 \\ 1 & 0 & -1 \end{bmatrix}, \begin{bmatrix} -1 & 0 \\ 1 & 1 \end{bmatrix}, \begin{bmatrix} 1 \end{bmatrix} \right)$$

$$a'_{1,2} = \left(\begin{bmatrix} 8 & 4 & 4 & 1 \\ 0 & 0 & 0 & 0 \\ 0 & 0 & 0 & 0 \\ 0 & 0 & 0 & 0 \end{bmatrix}, \begin{bmatrix} 0 & 0 & 0 \\ 0 & 0 & 0 \\ 0 & 0 & 0 \end{bmatrix}, \begin{bmatrix} 0 & 0 \\ 0 & 0 \end{bmatrix}, \begin{bmatrix} 0 \end{bmatrix} \right)$$

Démonstration. On se contente de justifier l'existence de ces relations vérifiées par $\Phi_{\mathfrak{so}_7,\mathrm{spin}_7}$ et la méthode utilisée pour déterminer la représentation :
Les trois premières relations peuvent être lues de la manière suivantes : La représentation spin_7 est de dimension 8, la forme bilinèaire sur $\mathfrak{so}_7$ induite par la trace sur spin_7 vaut 8 fois notre forme bilinéaire de référence et la forme de Killing vaut 40 fois notre forme bilinéaire de référence.
L'existence des deux dernières relations provient du fait que les espaces $\mathrm{Mod}_L(S^2L, S^2L)$ et $\mathrm{Mod}_L(\Lambda^3L, \Lambda^3L)$ sont de dimension 2.

On utilise ces relations pour calculer le produit dans le quotient de $\mathcal{A}_3$ par le noyau de $\Phi_{\mathfrak{so}_7,\mathrm{spin}_7}$ ce qui permet à équivalence près de déterminer la représentation de $\mathcal{A}_3$ dans $\mathcal{A}'_3$. □

2 L'invariant universel de Vassiliev-Kontsevich

Soient $R = \mathbb{C}[[\alpha]]$ l'anneau des séries en α à coefficients dans $\mathbb{C}$, $K = \mathbb{C}[\alpha^{-1}][[\alpha]]$ le corps des séries de Laurent en α à coefficients dans $\mathbb{C}$.
Nous reprenons la notion de "q-tangles" introduite dans [LM1] en négligeant l'orientation :
Soit $\mathcal{T}_3$ le monoïde engendré par les 5 "q-tangles" élémentaires, non orientés, munis des parenthèsages ((**)*), suivants :

$R_{1,2} =$ 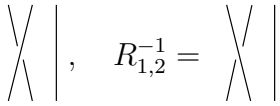 , $R_{1,2}^{-1} =$, $R_{2,3} =$, $R_{2,3}^{-1} =$, $A_{1,2} =$ 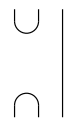

Notons que $R_{1,2}$, $R_{2,3}$ et leurs inverses engendrent le groupe d'Artin $B_3 \subset \mathcal{T}_3$ (groupe des tresses à trois brins).

Dans ce qui suit, si A est une $\mathbb{C}$-algèbre, $< A >$ désigne l'algèbre complétée de A pour la graduation. Pour le choix d'un associateur concentré en degré pair (élément de $< \mathcal{A}_3 >$), on note $Z : \mathcal{T}_3 \longrightarrow < \mathcal{A}_3 >$ l'application induite par l'invariant universel de Vassiliev-Kontsevich (cf [LM1]) et $Z_{\mathrm{spin}_7} : \mathcal{T}_3 \longrightarrow < \mathcal{A}'_3 >$ sa composée avec $\Phi_{\mathfrak{so}_7,\mathrm{spin}_7}$. soient $R'_{i,j} = Z_{\mathrm{spin}_7}(R_{i,j})$ et $A'_{i,j} = Z_{\mathrm{spin}_7}(A_{i,j})$. On note encore Z_{spin_7} l'invariant d'entrelacs en bande non orientés à valeurs dans R.

3 Relations "skein" pour $Z_{\mathbf{spin}_7}$

Remarquons que par restriction, Z_{spin_7} induit des représentations linéaires $\zeta_i : B_3 \longrightarrow \mathrm{GL}_i(R)$ pour $i \in \{1, 2, 3, 4\}$.

Proposition 3 *Les représentations ζ_i sont simples.*

Démonstration. La démonstration repose sur la connaissance de $R'_{1,2} = \exp(-\frac{\alpha}{2} r'_{1,2}) s'_{1,2}$ et de $R'_{2,3}$ en degré inférieur ou égal à 1 : en effet, notre associateur est égal à 1 en degré inférieur ou égal à 1 et donc $R'_{2,3} \equiv (1 - \frac{\alpha}{2} r'_{2,3}) s'_{2,3}$ modulo (α^2). On peut d'abord remarquer que ${R'_{1,2}}^2 \equiv {R'_{2,3}}^2 \equiv 1$ modulo α. Ainsi ces représentations de B_3 induisent des représentations de $\mathfrak{S}_3$. On vérifie aisément que ζ_2 est la représentation simple standard (associée au tableau de Young $[2, 1]$).
Pour ζ_3 et ζ_4, il existe une base (v_1, v_2, v_3, v_4) de R^4 (respectivement (v_1, v_2, v_3) de R^3) dans laquelle $\zeta_i(R_{1,2})$ est diagonale et a des valeurs propres distinctes. Ainsi, si un sous espace propre V de R^4 (resp. R^3) est stable par $\zeta_i(B_3)$, il se décompose en la somme directe de droites $\bigoplus_{j \in J} R.v_j$. Maintenant, on calcule $\zeta_i(R_{2,3})$ modulo α dans les bases (v_i) :

$$\frac{1}{8}\begin{bmatrix} 1 & 9 & 3 & -15 \\ 3 & -5 & 1 & -5 \\ 7 & 7 & 1 & 35 \\ -1 & -1 & 1 & 3 \end{bmatrix} \qquad \frac{1}{4}\begin{bmatrix} -2 & -2 & 10 \\ -1 & -3 & -5 \\ 1 & -1 & 1 \end{bmatrix}$$

Et l'existence d'un sous-B_3-module de type $\overline{V}$ apparaît clairement impossible. $\square$

Introduisons l'élément $W = e^{-\frac{1}{2}\alpha} \in R$

Proposition 4 *La représentation Z_{spin_7} de B_3 dans $\mathcal{A}'_3$ est équivalente à*

celle donnée par

$$R'_{1,2} = \left(\begin{bmatrix} W^{21} & -W(1-W^4+W^8) & -W^9(1-W^4+W^8) & W^{-3} \\ 0 & -W & -(1-W^4)W^9 & W^{-3} \\ 0 & 0 & -W^9 & W^{-3} \\ 0 & 0 & 0 & W^{-3} \end{bmatrix}, \right.$$

$$\left. \begin{bmatrix} -W & -W^{-11}(W^{20}-1) & -W^9 \\ 0 & -W^9 & -W^9 \\ 0 & 0 & W^{-3} \end{bmatrix}, \begin{bmatrix} -W & -W \\ 0 & W^{-3} \end{bmatrix}, \begin{bmatrix} W^{-3} \end{bmatrix} \right)$$

$$R'_{2,3} = \left(\begin{bmatrix} W^{-3} & 0 & 0 & 0 \\ W^9 & -W^9 & 0 & 0 \\ W^{-3} & W^{-3}(W^4-1) & -W & 0 \\ W^9 & -W^9(W^8-W^4+1) & -W^{13}(W^8-W^4+1) & W^{21} \end{bmatrix}, \right.$$

$$\left. \begin{bmatrix} W^{-3} & 0 & 0 \\ W^9 & -W^9 & 0 \\ -W^9 & W^{-11}(W^{20}-1) & -W \end{bmatrix}, \begin{bmatrix} W^{-3} & 0 \\ -W^{-3} & -W \end{bmatrix}, \begin{bmatrix} W^{-3} \end{bmatrix} \right)$$

De plus, $Z_{spin_7}(A_{1,2})$ est donné dans la même base par :

$$A'_{1,2} = \left(\frac{\Delta}{(W^{20}+1)(W^4+1)} \right.$$

$$\begin{bmatrix} (W^{20}+1)(W^4+1) & -(W^{12}+1) & -W^4(W^{16}+1) & \frac{W^{12}}{W^{12}+1} \\ 0 & 0 & 0 & 0 \\ 0 & 0 & 0 & 0 \\ 0 & 0 & 0 & 0 \end{bmatrix},$$

$$\left. \begin{bmatrix} 0 & 0 & 0 \\ 0 & 0 & 0 \\ 0 & 0 & 0 \end{bmatrix}, \begin{bmatrix} 0 & 0 \\ 0 & 0 \end{bmatrix}, [0] \right)$$

Démonstration. Justifions d'abord la forme de $R'_{1,2}$ et $R'_{2,3}$:
Dans [TW], il est établi qu'il existe à conjugaison près, une unique représentation simple du groupe B_3 dans $GL_n(K)$, où K est un corps algébriquement clos, pour $n \leq 3$, une fois fixée la liste $(\lambda_1, \ldots, \lambda_n) \in K^n$ des valeurs propres des tresses élémentaires. Ceci donne le résultat annoncé pour les 3 derniers facteurs.
Pour $n = 4$, la représentation de B_3 est déterminée par le choix d'une racine carrée ϵW^{-4} de $\frac{\lambda_2\lambda_3}{\lambda_1\lambda_4} = W^{-8}$ (cf [TW]). Or nous savons que la représentation ζ_4 de B_3 est en fait à valeur dans $M_4(R)$ et qu'elle envoie $R_{1,2}$ sur une

matrice diagonalisable dans $M_4(R)$. Les espaces propres de l'image de $R_{1,2}$ par les représentations correspondantes à $\epsilon = 1$ et $\epsilon = -1$ sont de la forme $(Rv_i)_{i=1\ldots4}$ et le calcul donne pour $\epsilon = 1$, $\det(v_1, v_2, v_3, v_4) \in \alpha^2 R$, donc $R_{1,2}$ n'est alors pas diagonalisable dans $M_4(R)$. La représentation ζ_4 est donc équivalente à celle obtenue pour $\epsilon = -1$.

D'autre part, $Z_{\mathrm{spin}_7}(A_{1,2})$ est envoyé sur $\varphi a'_{1,2} = 8\varphi p_E$ où p_E est le projecteur sur $E^4 \subset s^{\otimes 3}$ qui est l'espace propre de $R'_{1,2}$ associé à la valeur propre W^{21} et $\varphi \in R^*$. Or, on a dans $\mathcal{T}_3$ l'identité $A_{1,2}R_{1,2}R_{2,3}A_{1,2} = A_{1,2}$ qui donne $a'_{1,2}R'_{1,2}R'_{2,3}a'_{1,2} = \varphi^{-1}a'_{1,2}$ ce qui permet de déterminer $\Delta = 8\varphi$:

$$\Delta = W^{-18}(W^{20}+1)(W^{12}+1)(W^4+1)$$

$\square$

Propriété 5 *L'invariant d'entrelacs non orientés Z_{spin_7} à valeurs dans R possède les propriétés suivantes :*

$Z_{spin_7}\Big($ $\amalg\, L\Big) = \dfrac{(1+W^4)(1+W^{12})(1+W^{20})}{W^{18}} Z_{spin_7}(L)$ (1)

$Z_{spin_7}\Big($ $\Big) = W^{-21} Z_{spin_7}\Big($ $\Big)$ (2)

$Z_{spin_7}\Big($ $\Big) = W^7\, Z_{spin_7}\Big($ $\Big)$

$+W^4(W^{24}-1)(1+W^4)^{-1} Z_{spin_7}\Big($ $\Big)$

$-W^{-15}(1+W^{-8}-W^{-12}) Z_{spin_7}\Big($ $\Big)$ (3)

$+W^{-2}(1+W^8-W^{12}) Z_{spin_7}\Big($ $\Big)$

De plus, il vérifie la relation "skein" de la figure 1.
On a aussi $Z_{spin_7}(L \amalg L') = Z_{spin_7}(L) Z_{spin_7}(L')$ et si on note S l'involution de R obtenue en envoyant α sur $-\alpha$, alors l'image par Z_{spin_7} de l'image miroir d'un entrelacs L est donnée par $S_*(Z_{spin_7}(L))$. En particulier, on obtient des relations "skein" encore vérifiées par Z_{spin_7}, à partir de celles citées, en changeant W en $S_*(W) = W^{-1}$ et en inversant tous les croisements.

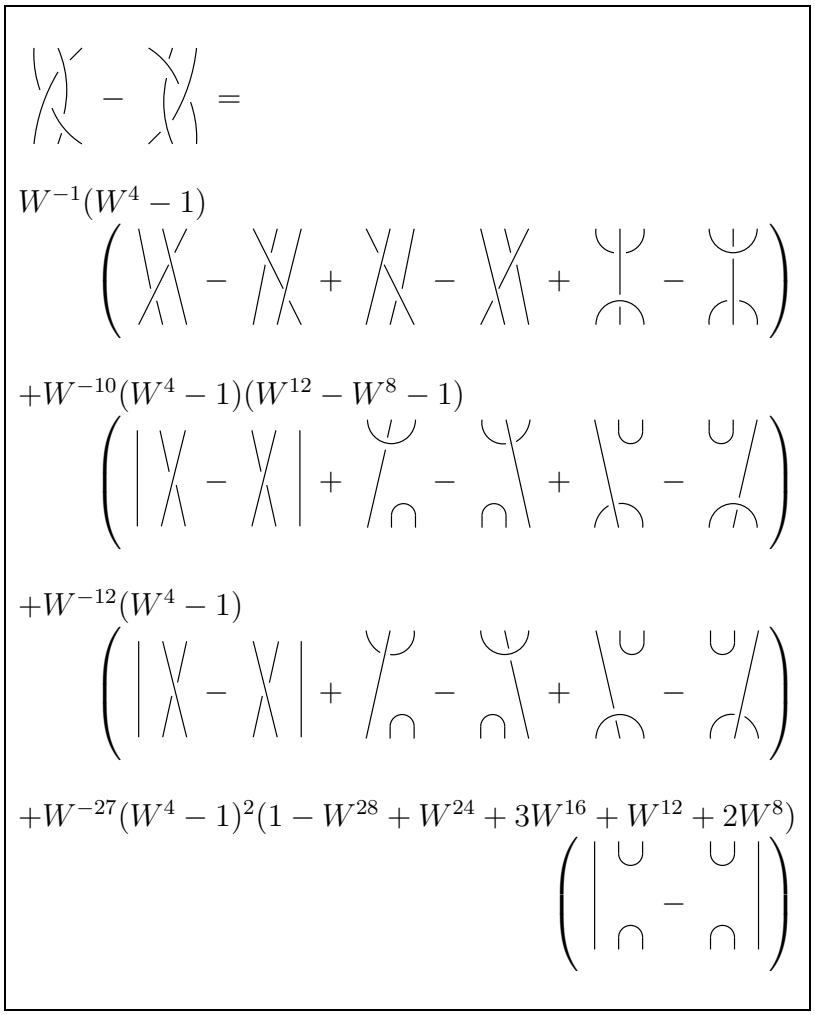

FIG. 1: Relation "skein" pour Z_{spin_7}

4 Calcul de $Z_{\mathbf{spin_7}}$

Remarquons que tous les coefficients intervenant dans les différentes relations "skein" sont dans $\mathbb{Z}[W, W^{-1}]$.

Théorème 6 *Les relations "skein" énoncées permettent un calcul algorithmique de l'invariant Z_{spin_7}. En conséquence, cet invariant d'entrelacs prend ses valeurs dans l'anneau $\mathbb{Z}[W, W^{-1}]$.*

Démonstration. Si deux segments disjoints d'un entrelacs L de graphe $G(L) \in \mathcal{G}$ ne s'intersectent qu'à leurs deux extrémités dans le graphe $G(L)$, on appelle œil de $G(L)$ le sous-graphe inclus dans la partie du plan, homéomorphe à un disque, délimitée par la réunion des deux segments. Un œil est minimal s'il ne contient pas d'autres yeux que lui même. Si $G(L)$ ne contient pas d'yeux, alors son invariant peut être calculé par les relations (1) et (2).
Il est facile de se rendre compte que si l'intérieur strict d'un œil minimal n'est pas isotope à une tresse, il contient un sous-graphe pouvant être réduit par les relations (1) ou (2). Si l'intérieur de l'œil est vide, par un mouvement de Reidmester de type II ou en utilisant la relation (3), on se ramène au calcul de l'invariant pour un graphe ayant un nombre strictement inférieur de croisements. Si l'intérieur de l'œil est une tresse obtenue comme le produit $\sigma_1 \dots \sigma_n$ de n tresses élémentaires, par un mouvement de Reidmester de type III ou par la relation figure 1, il est possible de se ramener au calcul de l'invariant pour des graphes ayant moins de croisements et pour un graphe ayant le même nombre de croisements mais contenant un œil dont l'intérieur est isotope à la tresse $\sigma_2 \dots \sigma_n$:

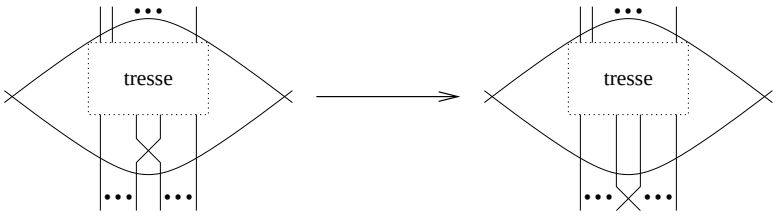

En réitérant ce processus n fois, on se ramène au cas où l'intérieur de l'œil est formé de k brins verticaux. Ensuite, toujours par un mouvement de Reidmester de type III ou par la relation figure 1, il est possible se ramener au calcul de l'invariant pour des graphes ayant moins de croisements et pour un graphe ayant le même nombre de croisements mais contenant un œil dont l'intérieur est composé de $k-1$ brins verticaux :

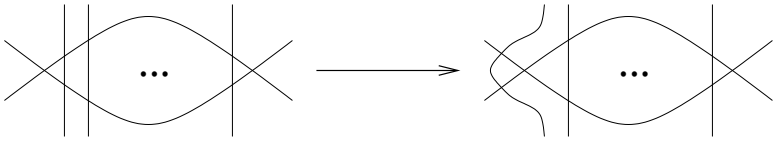

En répétant k fois ce processus, on se ramène au cas où le graphe contient un œil vide et donc à calculer l'invariant de graphes ayant un nombre strictement inférieur de croisements. $\square$

5 Exemples

En fait, les relations (1) à (3) suffisent pour calculer les invariants sur des entrelacs assez simples :

$$\Delta = Z_{\mathrm{spin}_7}\Big($$ 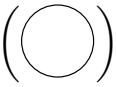 $$\Big) = \frac{(1+W^4)(1+W^{12})(1+W^{20})}{W^{18}}$$

$$Z_{\mathrm{spin}_7}\Big($$ $$\Big) = \frac{\Delta}{W^{24}}(1+W^{24})(1+W^{16})(1+W^8)$$

$$Z_{\mathrm{spin}_7}\Big($$ $$\Big) = \Delta\,\big(W^{27}+W^{19}-W^{15}+W^{11}-W^7+2W^3-2W^{-1}+2W^{-5}$$

$$-2W^{-9}+2W^{-13}-2W^{-17}+2W^{-21}-2W^{-25}+W^{-29}-2W^{-33}+W^{-37}$$
$$-W^{-41}+W^{-45}\big)$$

$$Z_{\mathrm{spin}_7}\Big($$ $$\Big) = \Delta\,\big(W^{48}-W^{44}+2W^{40}-3W^{36}+3W^{32}-4W^{28}+6W^{24}$$

$$-6W^{20}+7W^{16}-8W^{12}+8W^8-9W^4+9-9W^{-4}+8W^{-8}-8W^{-12}+7W^{-16}$$
$$-6W^{-20}+6W^{-24}-4W^{-28}+3W^{-32}-3W^{-36}+2W^{-40}-W^{-44}+W^{-48}\big)$$

Références

[BN] D. Bar-Natan - *On the Vassiliev knot invariants*, Topologie 34 n^0 2 1995, 423-472.

[BS1] A.B. Berger, I. Stassen - *The skein relation for the* $(\mathfrak{g}_2, V)$*-link invariant*, Comment. Math. Helv. 75 (2000), no. 1, 134–155.

[BS2] A.B. Berger, I. Stassen - *Skein relations for the link invariants coming from exeptional Lie algebras*, J. Knot Theory Ramifications 8 (1999), no. 7, 835–853.

[CM] A.M. Cohen, R. de Man - *Computational evidence for Deligne's conjecture regarding exceptional Lie groups*, C. R. Acad. Sci. Paris Sér. I Math. 322 (1996), no. 5, 427–432.

[CDK] S.V. Chmutov, S.V. Duzhin, A.I. Kaishev - *The algebra of* 3*-graphs*, Tr. Mat. Inst. Steklova 221 (1998), 168–196.

[D] P. Deligne - *La série exceptionnelle de groupes de Lie*, C. R. Acad. Sci. Paris Sér. I Math. 322 (1996), no. 4, 321–326.

[DM] P. Deligne, R. de Man - *La série exceptionnelle de groupes de Lie. II.* C. R. Acad. Sci. Paris Sér. I Math. 323 (1996), no. 6, 577–582.

[FKV] J.M. Figueroa-O'Farrill, T. Kimura, A. Vaintrob - *The universal Vassiliev invariant for the Lie superalgebra* $\mathfrak{gl}(1,1)$, Comm. Math. Phys. 185 (1997), no. 1, 93-127.

[H] P. Freyd, J. Hoste, W.B.R. Lickorish, K. Millet, A. Ocneanu and D. Yetter - *A new polynomial invariant of knots and links*, Bull. Amer. Math. Soc. 12 1985, 239-246.

[J] V.F.R. Jones - *A polynomial invariant of knots via Von Neumann algebras*, Bull. Amer. Math. Soc. 12 1985, 103-111.

[Ka] L.H. Kauffman - *An invariant of regular isotopy*, Trans. Amer. Math. Soc. 312 1990, 417-471.

[Kac] V.G.Kac - *Lie superalgebras*, Advances in math. 26 1977, 8-96.

[Kn1] J.A. Kneissler - *Relations in the algebra* Λ, preprint (oct. 1997).

[Kn2] J.A. Kneissler - *The number of primitive Vassiliev invariants up to degree twelve*, preprint (juin 1997).

[LiE] A.M. Cohen, M.A.A. van Leeuwen, B. Lisser - *LiE, a package for lie group computations*, CAN. Amsterdam 1992.

[LM1] T.T.Q. Le, J. Murakami - *Kontsevich's integral for the Kauffman polynomial*, Nagoya Math. J. 142 (1996), 39–65.

[LM2] T.T.Q. Le, J. Murakami - *The universal Vassiliev-Kontsevich invariant for framed oriented links*, Compositio Math. 102 (1996), no. 1, 41-64.

[LM3] T.T.Q. Le, J. Murakami, - *Representation of the category of tangles by Kontsevich's iterated integral*, Comm. Math. Phys. 168 (1995), no. 3, 535–562.

[Se] A. Sergeev - *The invariant polynomials on simple Lie superalgebras*, preprint (oct. 1998).

[TW] I. Tuba, H. Wenzl - *Representations of the braid group* B_3 *and of* $SL(2,\mathbb{Z})$, preprint (1999) à paraître dans Pacific Journal of Mathematics.

[Va] V. Vassiliev- *Cohomology of knot spaces, Theory of singularities and its applications* (V.I. Arnold, ed), Amer. Math. Soc., Providence 1990.

[Vo1] P. Vogel- *Invariants de Vassiliev des nœuds*, Sém. Bourbaki, 1992-93, Astérisque 216 1993, 213-232.

[Vo2] P. Vogel- *Algebraic structures on modules of diagrams*, preprint à paraître dans Inventiones Mathematicae.